

名古屋大学 正員 ○ 青木 敏彦  
名古屋大学 正員 福本 勇士

1. はじめに 柱の座屈強度に関する知識は他の座屈部材設計の基礎としても用いられ、従来から多くの研究がなされてきているが、そのばらつきの基本的性質については未だ不明確な点が多いようである。近年、構造物の安全性についての多方面での研究と相まって、鋼柱座屈強度の統計的研究も各国で行なわれている。本研究は溶接組立てされた H 形鋼柱を対象とし、残留応力と初期たわみを有する柱の座屈強度のばらつきについて、その基本的性質を明らかにしようとするもので、断面内の残留応力分布と初期たわみを簡単な形状に仮定し、数値計算モデルにより、座屈荷重分布の様子を調べる。結果はすでに行なわれた座屈実験結果と比較、検討される。

2. 解析モデル ここで用いた数値解析モデルは座屈荷重のばらつきとそれに及ぼす主な要因としての初期たわみと残留応力との間の関係について、基本的性質を明らかにしようとするもので、各要因について、それを一つのパラメーターにより制御できるような最も簡単なモデルとした。このような単純なモデルを用いれば座屈荷重推定の精度が幾分犠牲になるかわりに、ばらつきの全体的性質を手短かに知ることができますであろう。以下にこのモデルの要点を記す。

- (1). 柱の原断面は H 形であるが、これを 2 枚のフランジだけから成るサンドウィッチ構造におきかえる。(Fig. 1)。
- (2). フランジ内の残留応力分布は Fig. 2 のような矩形分布とし、引張り残留応力の大きさは常に降伏応力に等しくとる。また圧縮残留応力の大きさは  $\sigma_y$  とおき、 $\gamma$  の値を変化させ断面内で残留応力が自己つまりあいを保つよう圧縮残留応力のひろがりを定める。

- (3). 柱のたわみ曲線は荷重つりあい状態でも、初期たわみ状態でも、 $\sin$  半波形とし、柱の両端はピン支持と考える。(Fig. 3)。

3. 計算例 数値解析には、すでに行なわれた座屈実験<sup>1)</sup>の供試体寸法(断面  $100 \times 100 \times 8 \times 6 \text{ mm}$ )の値に近似するものを用い、Fig. 1 の記号  $B = 100 \text{ mm}$ ,  $T = 16 \text{ mm}$ ,  $H = 100 \text{ mm}$ ,  $l/r = 60, 80, 100, \text{ および } 120$  の各相長比に対し、強軸、弱軸まわりについて計算を行なった。また  $\gamma$  の値を 0.05 を基準として 20 通りかけて  $P_{max}$  の値を求めた。なお材料常数として  $E = 2.123 \times 10^6 \text{ kg/cm}^2$ ,  $\sigma_y = 3070 \text{ kg/cm}^2$  の値を使用した。

Fig. 5 は  $l/r = 100$ 、弱軸まわりの柱について  $P_{max}/P_y$  を求めた結果で、横軸には  $f_0/e$ 、斜軸には  $\gamma$  の値をとつてある。同図からわかるように、

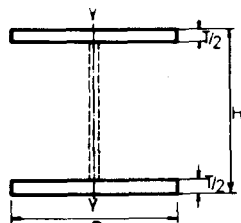


Fig. 1 IDEARIZED CROSS SECTION

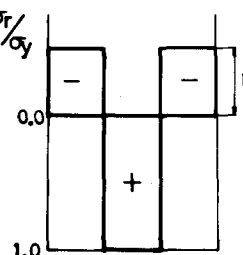


Fig. 2 IDEARIZED RESIDUAL STRESS DISTRIBUTION

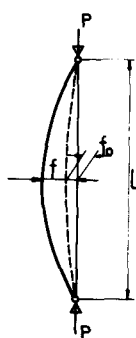


Fig. 3

$f_0/\epsilon$  と  $\gamma$  によってつくられる  $P_{max}$  曲面は  $f_0/\epsilon$  の値が 0 から大きくなるにつれて、ほど平面に近くなってくる。

#### 4. 座屈荷重のばらつきの推定

$P_{max}$  について Fig. 5 のような図像が各細長比について求められていれば  $f_0/\epsilon$  との値を実測から求めて、最高荷重とそのばらつきを推定することができる。

滑接 H 形柱についてすでに示した測定結果から短柱実験結果を Fig. 4 に示す。同図は縦軸に  $\sigma/\bar{\sigma}_y$  を、横軸に  $E\epsilon/E$  をとってある。ここに  $\bar{\sigma}_y$  は降伏応力の平均値、E はヤング係数の平均値。同図中、原点から放射状に引いた直線は、一定の細長比について、その直線と  $\sigma-E\epsilon$  曲線との交点が座屈荷重を与えるという關係がある（詳細は文献 2 参照）。数値計算に用いる  $\gamma$  の値は各細長比ごとに、Fig. 4 のヒストグラムから  $(1.0 - \sigma/\bar{\sigma}_y)$  の値を計算して求めた。

初期たわみ  $f_0/\epsilon$  の値は同じシーケンスの測定結果から最大たわみを求め、Fig. 6 (a) に示すヒストグラムを得た。Fig. 6 (a), (b) は  $f_0/\epsilon$  と  $\gamma$  のばらつきがどの程度変化するかを示したもので、 $f_0/\epsilon = 0.003$ ,  $\gamma = 0.5$  はそれぞれ測定値の平均的な値である。この場合、 $\gamma$  による  $P_{max}$  のばらつきは  $f_0/\epsilon$  によるもの約 1.5 倍大きい。

Fig. 7 は細長比 60, 80, 100, 120 に対する座屈荷重ヒストグラムについての数値計算結果である。ヒストグラムの下に示した実線は変動係数を表している。図中の点線は前述の座屈実験結果である。同図から  $f_0/\epsilon$  が小さくなるにつれてモデルによる座屈荷重が上方にあらがるが、 $f_0/\epsilon = 100$  附近では両者の間にようやく一致がみられることがわかる。一方座屈荷重のばらつきを示す方変動係数曲線は両者の間に著しい一致がみられる。

5. おわりに 初期たわみと残留応力を有する滑接 H 形鋼柱の座屈耐力を求めるのに、個々の要因が各々を一つのパラメーターで定まるような簡単なモデルを用いた。モデルによる座屈荷重の値が  $f_0/\epsilon$  が小さい範囲で実験値を上まわるのには  $\gamma$  の値の仮定とモデルの近似性によるものと思われる。しかし、このような簡単なモデルによつても座屈荷重のばらつきについては高い精度で実験値を推定できることがわかった。この分野の研究の発展のためには  $f_0/\epsilon$  と  $\gamma$  等の実測データが必要となろう。

- 1) 青木・福本、"鋼柱座屈強度の統計的解析"、土木学会年次講演会 5.4.7 T.70 P185
- 2) 青木・福本、"鋼柱座屈強度のばらつき: 方向性と荷重分布の影響について"、No. 201, 1972. 5.

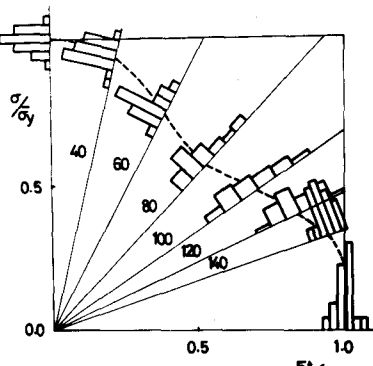


Fig. 4

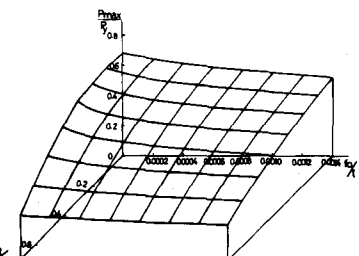


Fig. 5

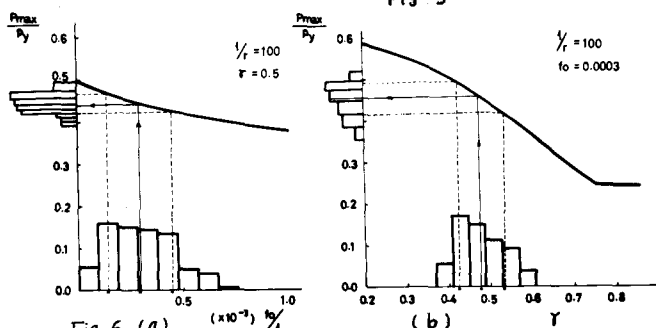


Fig. 6 (a)  $(\times 10^{-3}) \frac{P_{max}}{P_y}$

Fig. 6 (b)  $\gamma$

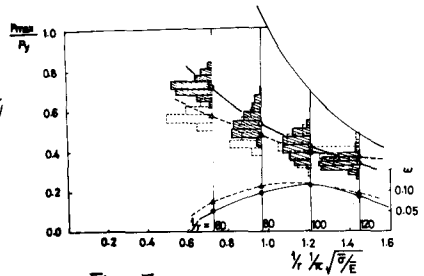


Fig. 7